

Methylacetate-Methanol 系의 氣液平衡에 미치는 第三成分의 影響

朴 元 圭* · 裴 孝 廣** · 都 甲 守***

Effect of Solvents on the Vapor-Liquid Equilibrium of Methylacetate-Methanol System

Won-Kyoo Park* · Hyo-Kwang Bae** · Kap-Soo Do***

*Dept. of Chem. Eng., Young Nam Univ. **Annexed Tech College, Young Nam Univ.

***Kyungpuk Industrial Research Institute

Abstract

In order to distill the Methylacetate-Methanol system which has an azeotropic point at 53.8°C., several extractive solvents such as ethanol, propanol, butanol and butylacetate were used. These ternary systems, MeAc-MeOH-Solvents, were distilled and recycled in a Smith-Bonner type apparatus for 30—50 min. and then, samples of each outlet were analyzed by gas chromatography. Liquid-vapor equilibrium data for each solvent were measured according to the various concentrations. Propanol as extraction solvent is the best one in a series of these systems, referring to the equilibrium curves, and also to the relationship of relative volatility and solvent concentration. As the latter relationship shows a nearly straight line, it may be concluded that this fact is in a good accordance with Johnson's study⁽⁹⁾ for inorganic salt-effect onto an azeotropic binary system shown in Fig. 7.

1. 緒 論

共沸點을 갖는 二成分系의 蒸溜效果를 增大시키기 위하여 第三成分으로 無機鹽類를 添加한 연구는 多數 報告되어 있다^(1,2,3,4).

本實驗에서는 Ester 제조과정에서 共沸點을 갖는 Alcohol 과 Ester 의 混合溶液에 第三成分으로 同族系列의 Alcohol 類 또는 Ester 類를 添加하고 이 抽出溶劑들의 種類와 濃度에 따른 氣液平衡關係를 조사하여 抽出蒸溜에 미치는 第三成分의 영향을 여러 方법^(2,5)으로 比較, 檢討하였다. 또 原混合物인 Methylacetate-Methanol 二成分系의 氣液平衡 Data 를 測定하고 Herington 的健全性檢定法⁽⁶⁾을 適用하여 이 Data 의 健全性도 調査하였다.

2. 實驗裝置 및 方法

二成分系의 實驗이나 三成分系의 實驗裝置는 다같이 Fig. 1 과 같은 Smith-Bonner 改良型의 장치를 製作하여 사용하였다.

*嶺南大 工大 ***嶺南大 工專 ***慶北 工研

第三成分의 몰分率을 變化시키기 위하여 MeAc(1)-MeOH(2)系에 溶劑(3) 을 適當量 添加하여 몰分率로 써 0, 0.3, 0.6, 0.8 이 되게 하였고, 溶液이 定常的으로 穩은 후 約 30 分 經過하여 液側 및 蒸氣側의 沸點이 각각 一定한 것을 確認하고 液 및 蒸氣側의 outlet 에서 試料를 각각 5ml 정도 빼내어 Microcylinder에 5μl 取하여 Gas Chromatograph(Simazu G. C. 3AH型)로 分析하였다. 이 때 Gas Chro. 的 動作條件은 다음과 같다.

Column length : about 4m

Packing material : P. E. G. 1500

Temperature : 120~130°C

Carrier gas : N₂

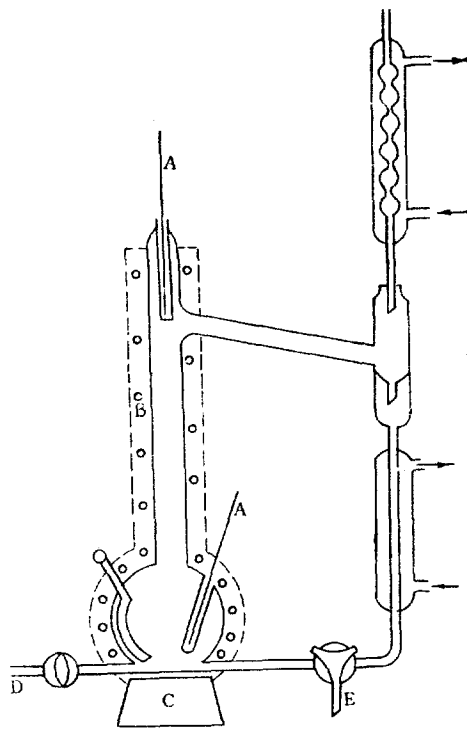
Carrier gas flow rate : about 30ml/min

pressure : 1.75~2.00 kg/cm² gauge

3. 結 果

(1) 二成分系에 對하여

原系인 MeAc-MeOH 二成分系의 氣液平衡測定值는 Table 1에 나타내었고 이 Data의 健全性을 조사하기



A : Thermometer B : Nichrome wire C : Heating plate
D : Liquid phase outlet E : Vapor phase outlet

Fig. 1. Apparatus for Measuring Liquid-Vapor Equilibrium

Table 1. Liquid-Vapor Equilibrium Data for MeAc(1)-MeOH(2) System (1 atm)

No.	Temp [°C]	x_1	y_1
1	57. 95	0. 964	0. 881
2	57. 05	0. 899	0. 798
3	56. 30	0. 819	0. 738
4	53. 80	0. 696	0. 676
5	53. 95	0. 583	0. 614
6	54. 00	0. 570	0. 607
7	54. 90	0. 516	0. 571
8	54. 90	0. 418	0. 550
9	57. 60	0. 386	0. 499
10	59. 00	0. 258	0. 404
11	61. 00	0. 128	0. 283
12	61. 20	0. 0492	0. 172
13	63. 00	0. 0230	0. 105

위하여 Herington의健全性検定法⁽⁶⁾을適用하였다.

Fig. 2에서活動度係數(r)는 다음 式에서 求하였다.

$$r_i = \frac{P}{P_i} K_i \quad (1)$$

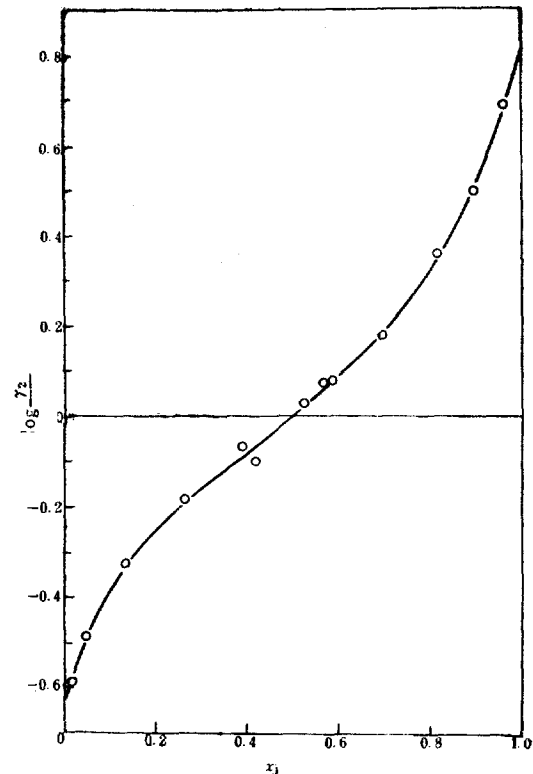


Fig. 2. $\log(r_2/r_1)$ vs. x_1

여기서 P 는 全壓, K_i 는 氣液平衡比 (y_i/x_i)이고, P_i 는 系의 温度에서 成分 i 의 饱和蒸氣壓이며, Antoine의 式⁽⁷⁾을 使用하여 計算하였다.

氣液平衡值의 健全性을 檢討하기 為하여 Fig. 2를 利用해서 計算한 結果 (2)式의 左邊의 値이 4.3, 右邊의 値은 5.0이 되어 (2)式을 만족하므로 測定值은 热力學的으로 健全하다고 할 수 있다.⁽⁶⁾⁽⁸⁾

$$\frac{100 \left| \int_0^1 \log \frac{r_2}{r_1} dx_1 \right|}{\sum} < \frac{|150| \Delta T}{T_{min}} \quad (2)$$

여기서 Σ 는 $\log \left(\frac{r_2}{r_1} \right)$ vs. x_1 의 曲線과 $\log \frac{r_2}{r_1} = 0$ 의 直線으로 둘더싸인 面積의 合이고, ΔT 는 測定한 最高溫度와 最低溫度 (T_{min})의 差이다.

(2) 三成分系에 對하여

MeAc(1)-MeOH(2)系에 第三成分(ε)이 EtOH, PrOH, BuOH, BuAc를 添加하여 第三或分의 摎分率이 0.3, 0.6, 0.8 정도가 되도록 調節하여 實驗하였으며 EtOH를 加했을 때의 data만 Table 2에 나타내었고, 다른 溶劑에 對해서는 plot만 했다. (Fig. 3, 4, 5, 6)

Table 2. Equilibrium Data for MeAc(1)-MeOH(2)-EtOH(3) System (1 atm)

Run No.	Temp. [°C]	x_1	x_2	x_3	y_1	y_2	y_3	X_1	Y_1
1	63.50	0.029	0.652	0.319	0.129	0.651	0.220	0.042	0.166
2	63.30	0.084	0.581	0.335	0.266	0.515	0.219	0.127	0.341
3	62.90	0.122	0.554	0.324	0.297	0.490	0.213	0.180	0.377
4	63.50	0.175	0.505	0.320	0.305	0.428	0.267	0.257	0.416
5	63.55	0.232	0.438	0.330	0.362	0.376	0.262	0.346	0.491
6	63.75	0.296	0.361	0.343	0.414	0.303	0.283	0.451	0.577
7	63.25	0.364	0.292	0.344	0.466	0.273	0.261	0.555	0.631
8	61.45	0.421	0.239	0.340	0.492	0.227	0.281	0.638	0.684
9	58.50	0.493	0.204	0.303	0.548	0.200	0.285	0.707	0.733
10	64.80	0.613	0.093	0.294	0.644	0.121	0.235	0.868	0.842
11	60.00	0.644	0.069	0.287	0.676	0.083	0.241	0.903	0.891
12	61.25	0.031	0.511	0.458	0.161	0.543	0.296	0.057	0.228
13	60.60	0.050	0.487	0.463	0.270	0.452	0.278	0.149	0.374
14	60.35	0.153	0.366	0.481	0.345	0.354	0.301	0.294	0.494
15	59.90	0.232	0.291	0.469	0.438	0.277	0.285	0.437	0.613
16	58.85	0.289	0.118	0.493	0.520	0.212	0.268	0.570	0.710
17	58.30	0.378	0.155	0.467	0.523	0.179	0.298	0.709	0.745
18	58.10	0.387	0.157	0.456	0.553	0.150	0.297	0.711	0.787
19	58.00	0.414	0.127	0.459	0.586	0.139	0.275	0.765	0.808
20	58.20	0.423	0.115	0.462	0.603	0.105	0.292	0.786	0.852
21	59.00	0.420	0.097	0.483	0.577	0.099	0.324	0.812	0.854
22	59.50	0.430	0.098	0.472	0.587	0.111	0.302	0.814	0.841
23	59.50	0.458	0.105	0.437	0.616	0.103	0.281	0.814	0.857
24	58.80	0.488	0.065	0.447	0.642	0.076	0.282	0.882	0.894
25	58.90	0.509	0.052	0.439	0.653	0.053	0.294	0.907	0.927
26	66.50	0.027	0.346	0.627	0.162	0.404	0.434	0.0724	0.286
27	65.80	0.031	0.349	0.620	0.216	0.394	0.390	0.082	0.354
28	65.00	0.072	0.317	0.611	0.251	0.347	0.402	0.185	0.420
29	64.25	0.091	0.290	0.619	0.338	0.279	0.383	0.239	0.548
30	63.65	0.152	0.194	0.654	0.387	0.225	0.390	0.439	0.632
31	63.05	0.172	0.160	0.668	0.439	0.154	0.407	0.527	0.740
32	64.50	0.236	0.147	0.617	0.459	0.100	0.441	0.616	0.821
33	62.80	0.222	0.037	0.681	0.477	0.112	0.411	0.696	0.810
34	63.90	0.290	0.042	0.638	0.505	0.072	0.423	0.801	0.875
35	63.80	0.259	0.065	0.676	0.495	0.064	0.441	0.804	0.886
36	72.80	0.002	0.236	0.762	0.022	0.308	0.670	0.008	0.065
37	70.75	0.020	0.219	0.761	0.114	0.252	0.634	0.083	0.311
38	69.50	0.051	0.184	0.765	0.213	0.199	0.588	0.217	0.517
39	68.85	0.078	0.145	0.777	0.196	0.174	0.630	0.351	0.530
40	68.50	0.094	0.118	0.788	0.232	0.127	0.641	0.442	0.646
41	68.40	0.104	0.099	0.798	0.217	0.104	0.679	0.515	0.676
42	67.40	0.128	0.087	0.785	0.269	0.089	0.642	0.595	0.752
43	66.70	0.156	0.065	0.779	0.300	0.065	0.635	0.705	0.823
44	65.50	0.195	0.034	0.771	0.376	0.044	0.580	0.852	0.895
45	65.60	0.200	0.023	0.777	0.391	0.029	0.580	0.897	0.931
46	77.00	0.001	0.088	0.911	0.009	0.066	0.895	0.004	0.085
47	76.40	0.004	0.035	0.961	0.0313	0.102	0.866	0.089	0.234
48	75.50	0.008	0.053	0.939	0.072	0.086	0.842	0.138	0.458
49	73.40	0.026	0.015	0.959	0.135	0.035	0.828	0.632	0.797
50	73.15	0.041	0.006	0.953	0.167	0.009	0.824	0.868	0.949

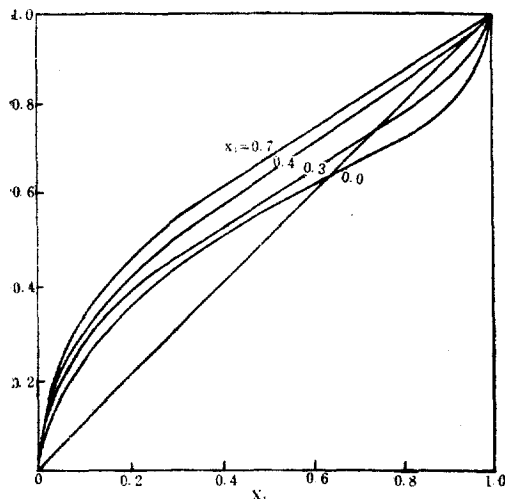


Fig. 3. X_1 - Y_1 Diagram for
MeAc-MeOH-EtOH System

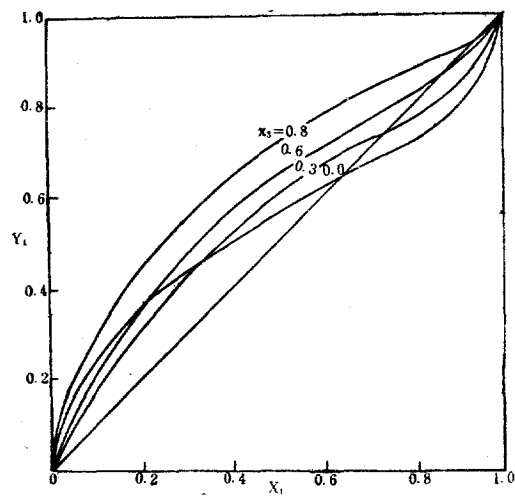


Fig. 5. X_1 - Y_1 Diagram for
MeAc-MeOH-BuOH System

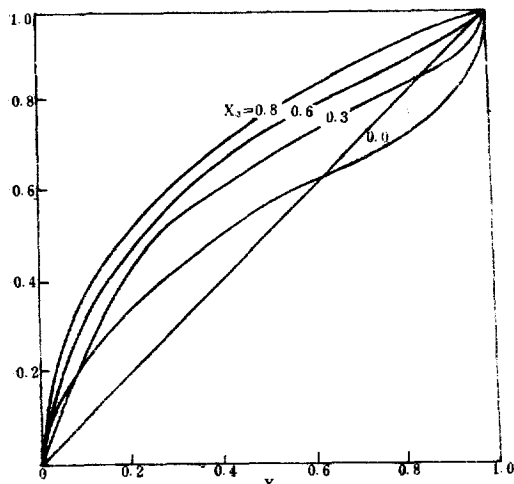


Fig. 4. X_1 - Y_1 Diagram for
MeAc-MeOH-PrOH System

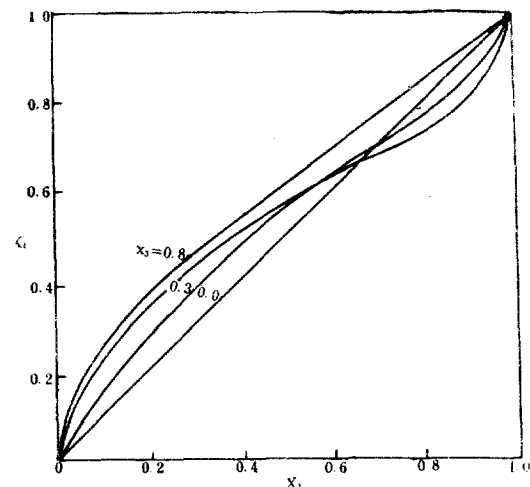


Fig. 6. X_1 - Y_1 Diagram for
MeAc-MeOH-BuAc System

4. 考 察

第三成分의 물분率(x_3)에 따라 無溶劑基準으로 表示한 $X_1(x_1/x_1+x_2)$ 과 $Y_1(=y_1/y_1+y_2)$ 을 plot하면 Fig. 3, 4, 5, 6과 같다. 여기에서 $x_3=0$ 인 曲線으로부터 離이 멀어진 曲線일수록 溶劑로서 좋은 効果를 나타내므로 本實驗에서는 PrOH가 가장 좋고, 그 다음이 EtOH, BuOH, BuAc 順임을 알 수 있다. 또 Johnson은 二成分系에 無機鹽類를 添加하였을 때 二成分系의 相對揮發度와 鹽을 添加하였을 때의 比의 對數值($\log \alpha_{12,3}/\alpha_{12}$)와 鹽濃度 사이에는 直線의 關係가 있고, 그 直線의 기울기가 클수록 鹽効果가 크다.

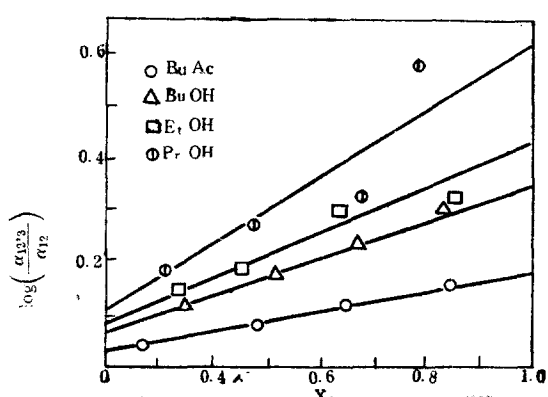


Fig. 7. $\log \alpha_{12,3}/\alpha_{12}$ vs. x_3

고 報告⁽⁹⁾하였다. 本實驗에서도 添加物質로써 抽出溶劑를 使用하였으나 鹽添加時와 同一한 傾向을 나타내 어 거의 直線이 되었다(Fig. 7). 그리고 여기서도 *PrOH*가 가장 좋은 溶劑임을 나타내었으며 그 다음이 *EtOH*, *BuOH*, *BuAc*의 順임을 알 수 있다.

5. 結論

以上의 *MeAc—MeOH* 系의 實驗結果로 부터 다음과 같은 結論을 얻었다.

- (1) 共沸組成을 갖는 *MeAc—MeOH* 系에 第三成分을 添加하여 抽出蒸溜할 때 溶劑의 効果는 *PrOH*가 가장 좋았으며 다음이 *EtOH*, *BuOH*, *BuAc* 順이었다.
- (2) 相對揮發度의 比의 對數와 第三成分의 濃度를 Plot 한 結果 거의 直線關係가 있었으며 鹽을 添加한 Johnson⁽⁹⁾ 實驗結果와 잘一致하였다. (Fig. 7)

記號 說明

- x* ; Mole fraction in liquid phase
y ; Mole fraction in vapor phase
X₁ ; *x₁*/*x₁*+*x₂*
Y₁ ; *y₁*/*y₁*+*y₂*

α_{12} ; Relative volatility of *MeAc* to *MeOH* in the *MeAc—MeOH* system.

$\alpha_{12,3}$; Relative volatility of *MeAc* to *MeOH* in the *MeAc—MeOH—Solvent* ternary system.

MeOH ; Methanol, *MeAc* ; Methylacetate, *PrOH* ; Propanol, *EtOH* ; Ethanol, *BuOH* ; Butanol, *BuAc* ; Butylacetate.

參考文獻

1. 橋本, 平田, 廣瀬; 化學工學, 32, 182(1968)
2. 吉田, 安西, 濱田; *ibid* 28, 133(1964)
3. 平田; *ibid* 25, 665 (1961)
4. Rhim, C. N., Shon, B. C.; *J. of KICHE*, 4, 117 (1966)
5. 正野, 金澤; 工業化學雜誌, 72, 815 (1969)
6. 化學工學會編; “物性定數2集” pp 3~4, 日本丸善 (1964)
7. 化學工學會編; “物性定數3集” p 7, 日本丸善(1965)
8. 小松, 鈴木; 工業化學雜誌, 72, 812 (1969)
9. Johnson, A. I., Furter, W. F.; *Can. J. Chem. Eng.* 38, 78, (1960)